

非弾性散乱を利用した不安定核 核構造研究

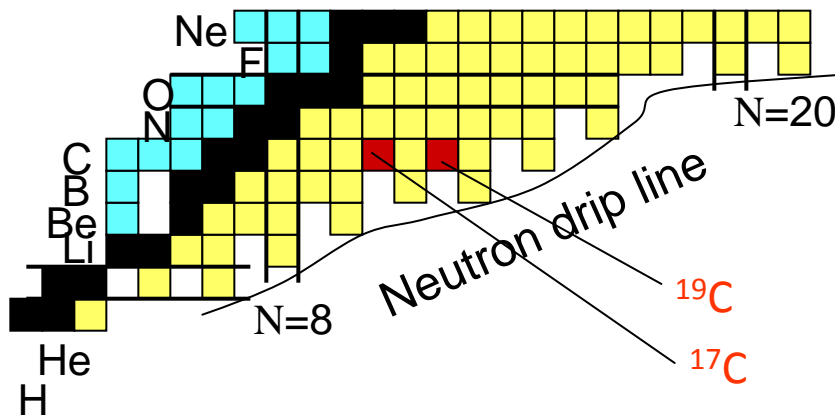
佐藤義輝 東京工業大学

Unbound excited states in $^{19,17}\text{C}$

— Ground state deformation property of carbon isotopes—

Y.Satou et al.,

Phys. Lett. B 660, 320(2008).



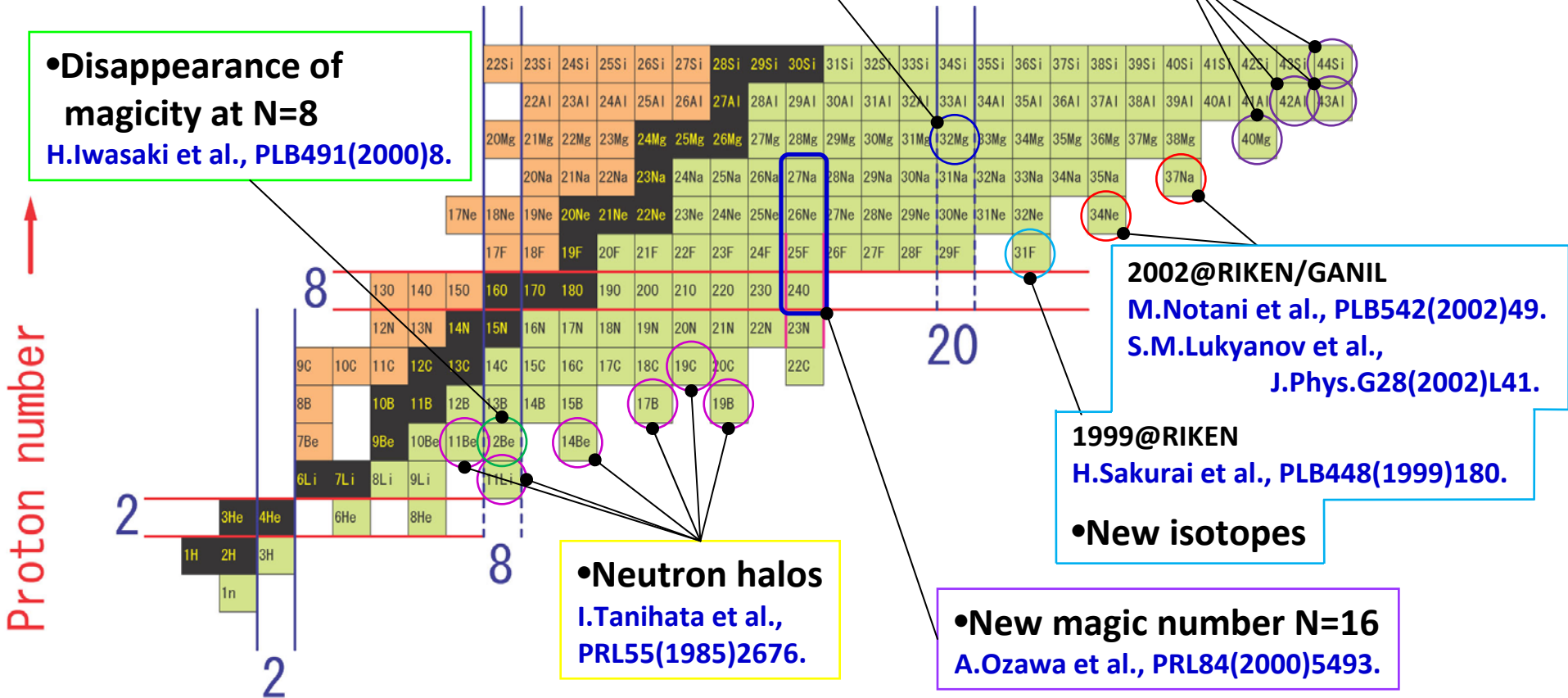
- T.Nakamura et al., PRL83,1112(1999).
- V.Maddalena et al., PRC63,024613(2001).
- N.Fukuda et al., PRC70,054606(2004).
- R.Kanungo et al., NPA757,315(2005).
- Z.Elekes et al., PLB614,174(2005).
- T. Nakamura et al., PRL96, 252502(2006).
- T. Sugimoto et al., PLB654,160(2007).
- Y.Kondo et al., PRC79, 014602(2009).

Physics Background

•Disappearance of magicity at N=20
T.Motobayashi et al., PLB346(1995)9.

2007@MUS
O.Tarasov et al., PRC75(2007)064613.
T.Baumann et al., Nature 449(2007)1022.

•Disappearance of magicity at N=8
H.Iwasaki et al., PLB491(2000)8.



2002@RIKEN/GANIL
M.Notani et al., PLB542(2002)49.
S.M.Lukyanov et al.,
J.Phys.G28(2002)L41.

1999@RIKEN
H.Sakurai et al., PLB448(1999)180.

•New isotopes

•Neutron halos
I.Tanihata et al.,
PRL55(1985)2676.

•New magic number N=16
A.Ozawa et al., PRL84(2000)5493.

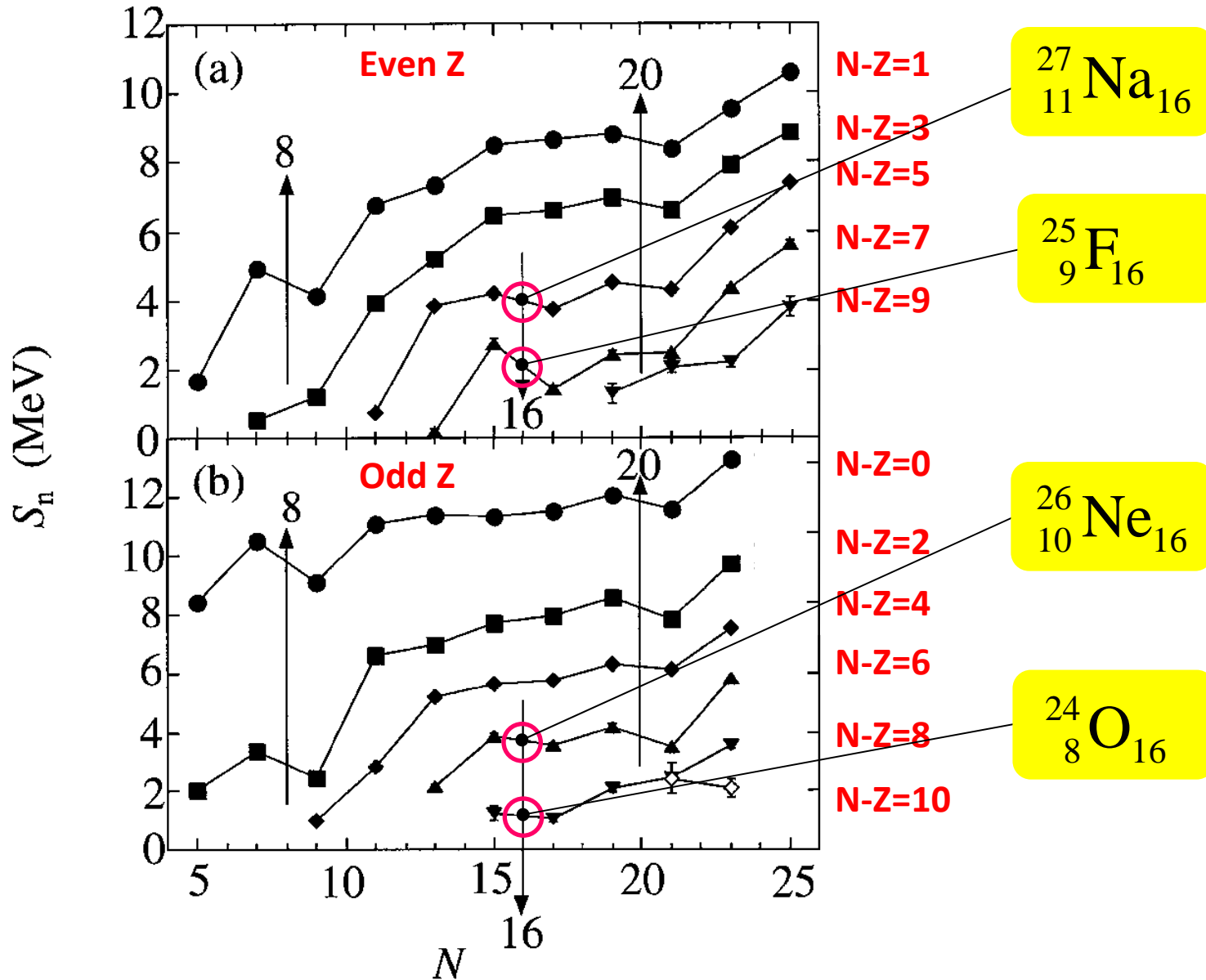
Neutron number →

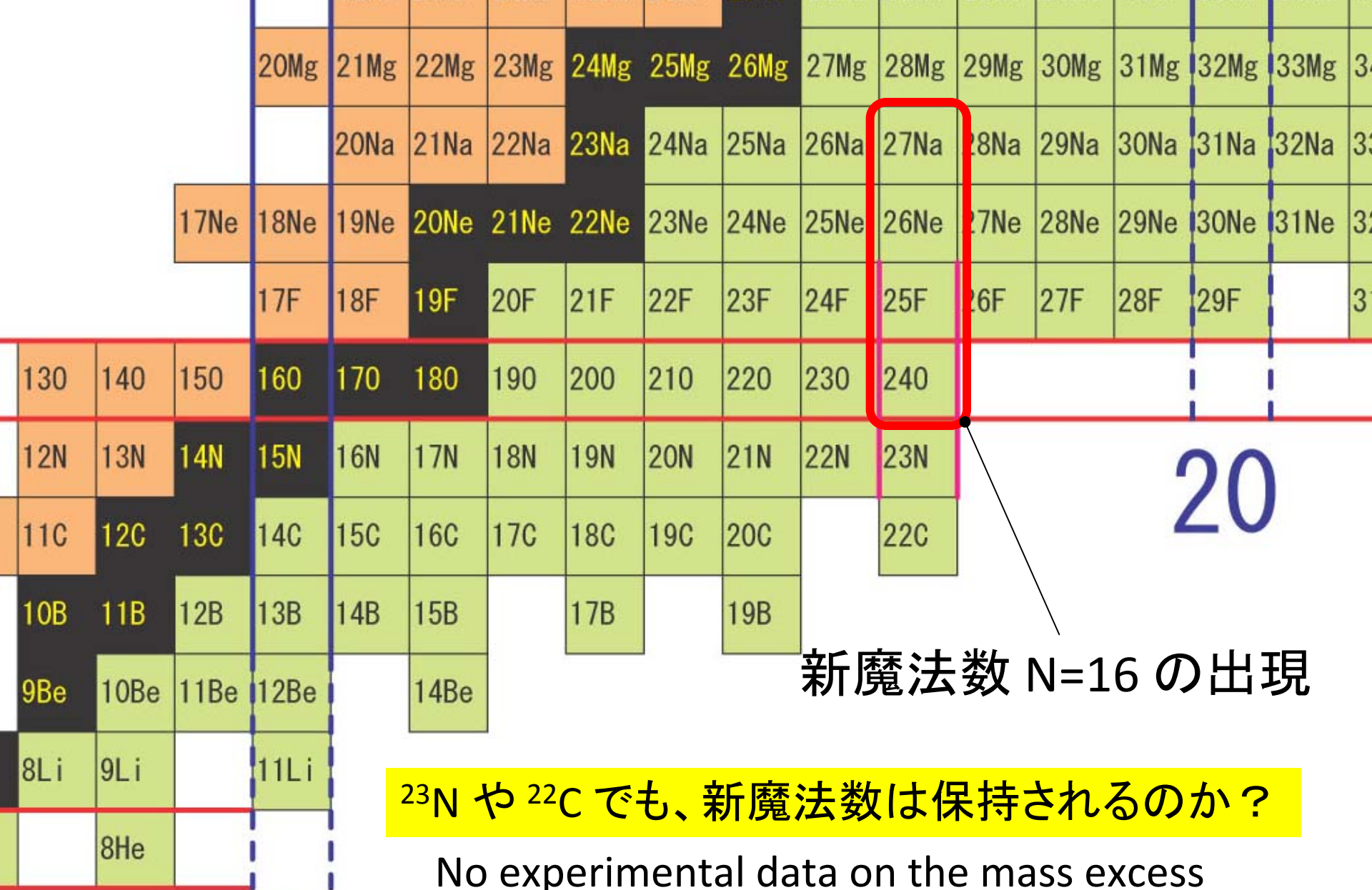
Challenges to nuclear physics

- To establish the drip line
- To accumulate spectroscopic information and find new phenomena

新魔法数 N=16 の出現

A.Ozawa et al.,
PRL84(2000)5493.





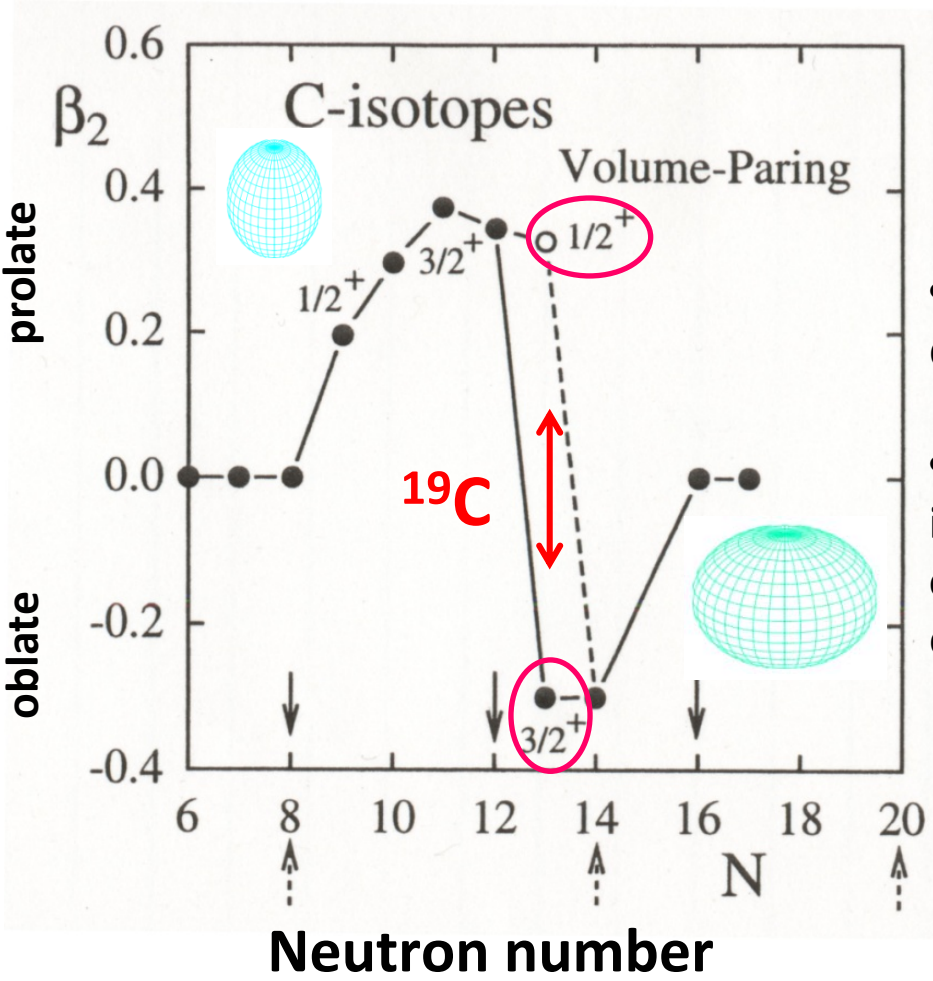
新魔法数 N=16 の出現

^{23}N や ^{22}C でも、新魔法数は保持されるのか？

No experimental data on the mass excess
G.Audi et al., NPA729(2003)337.

8

炭素同位体の基底状態変形の中性子数依存性



New magic number at N=16 in C chain ?

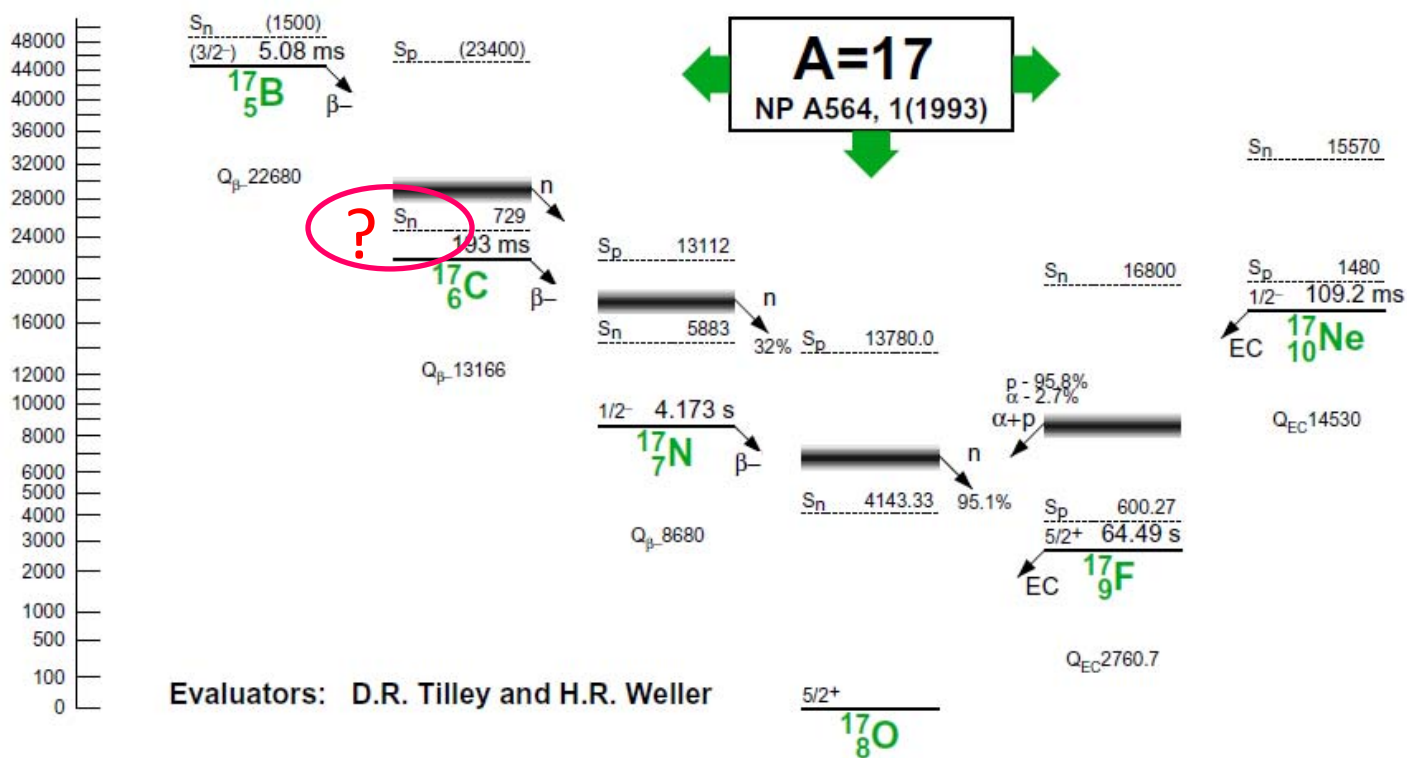
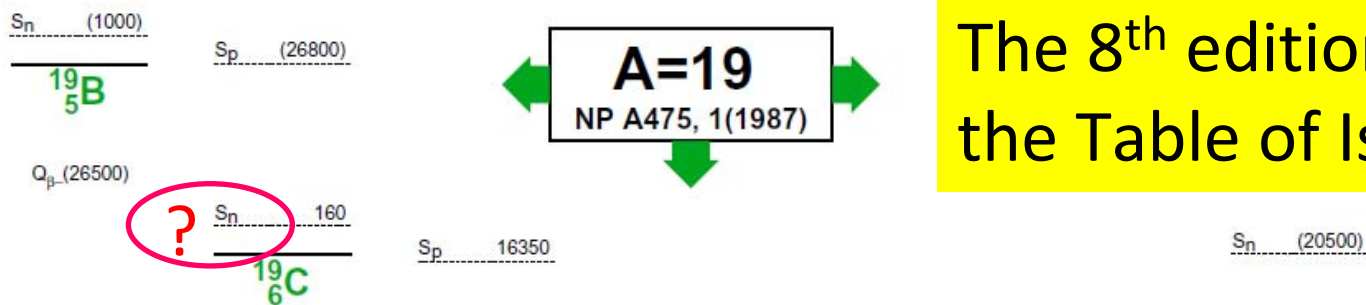
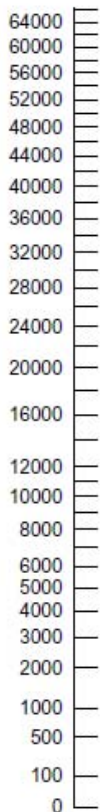
- For ^{19}C with $N=13$, two almost degenerate deformation minima are predicted.
- Definite information on the structure of ^{19}C is important to clarify the possible new shell effect ($N=16$ closure) in the neutron-rich carbon isotopes.

19,17C核の基底状態のスピン・パリティ

19C		
Reference	Method	J ^π (gnd.)
D.Bazin et al., PRL74(1995)3569.	¹⁹ C→ ¹⁸ C	1/2 ⁺
D.Bazin et al., PRC57(1998)2156.	¹⁹ C→ ¹⁸ C	5/2 ⁺
T.Baumann et al., PLB439(1998)256.	¹⁹ C→ ¹⁸ C	5/2 ⁺
T.Nakamura et al., PRL83(1999)1112.	¹⁹ C→ ¹⁸ C+n Coulomb	1/2 ⁺
V.Maddalena et al., PRC63(2001)024613.	¹⁹ C→ ¹⁸ C+ γ	1/2 ⁺
R.Kanumgo et al., NPA757(2005)315.	¹⁹ C→ ¹⁹ C+ γ	3/2 ⁺ ,5/2 ⁺
This experiment	¹⁹C→¹⁸C+n (p,p')	?

17C		
Reference	Method	J ^π (gnd.)
E.Sauvan et al., PLB491(2000)1.	¹⁷ C→ ¹⁶ C	3/2 ⁺
V.Maddalena et al., PRC63(2001)024613.	¹⁷ C→ ¹⁶ C+ γ	3/2 ⁺
H.Ogawa et al., EPJA13(2002)81.	g-factor	3/2 ⁺
E.Sauvan et al., PRC69(2004)044603.	¹⁷ C→ ¹⁶ C	3/2 ⁺
This experiment	¹⁷C→¹⁶C+n (p,p')reaction	?

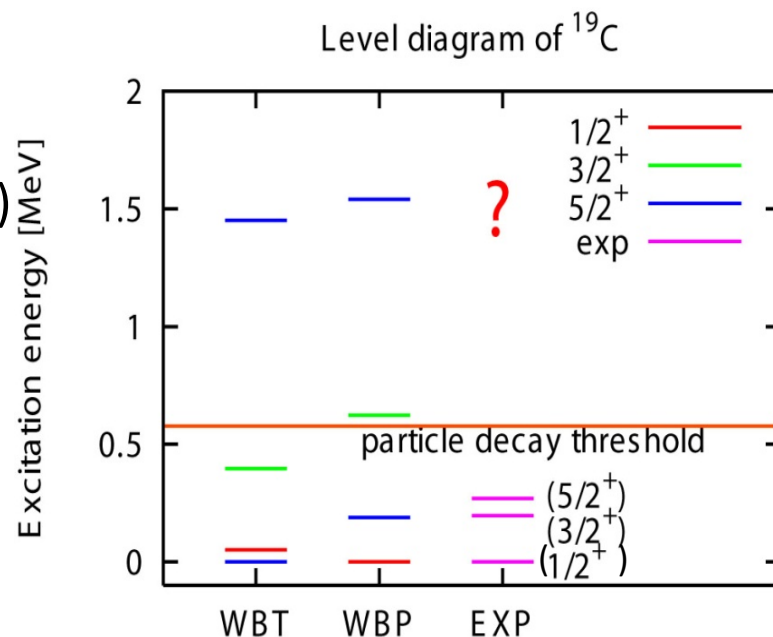
The 8th edition of the Table of Isotopes



実験目的

- ^{19}C 核の基底状態の J^π の決定

- 粒子崩壊閾値より上の準位を探索する
- エクスクルーシブ測定を行う
- (p,p') 反応を利用する
- 手法の較正目的の為、 ^{17}C 核($J^\pi=3/2^+$)も同様の測定を実施



Why use the (p,p') reaction ?

- Theoretical methods, such as Distorted Wave Born Approximation (DWBA), provide a first interpretation of data.

$$\frac{d\sigma}{d\Omega} = \frac{m_a m_b}{(2\pi\hbar^2)^2} \frac{k_b}{k_a} |T_{ba}^{DWBA}|^2$$

Effective interaction

$$T_{ba}^{DWBA} = \langle X^{(-)} \chi_b \Phi_{A^*} | V_{ba} | X^{(+)} \chi_a \Phi_A \rangle$$

Nuclear wave functions

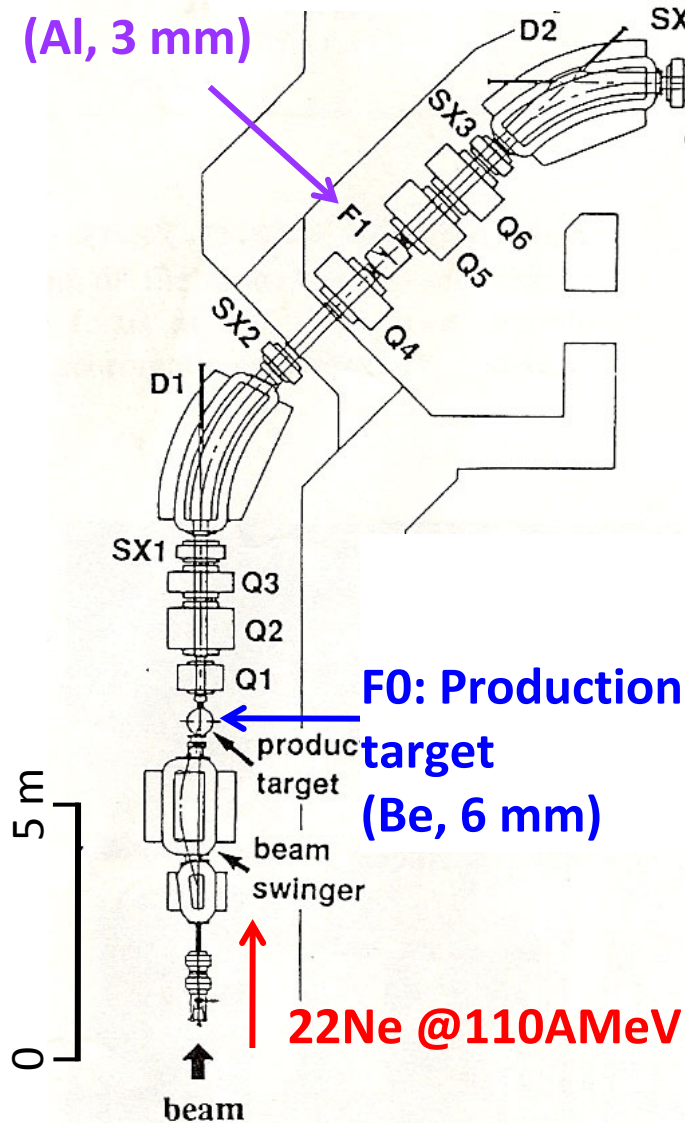
Nucleon spinors

Distorted waves

- The liquid hydrogen target can be used to maximize the number of scattering center per unit energy loss.

RIPS: RIKEN Projectile fragment Separator

F1: Energy degrader
(Al, 3 mm)



19C @70AMeV
260 cps

Experimental apparatus

Invariant mass method 18C

19C
Projectile



Target



Ejectile
(E_2, P_2)



Neutron
(E_1, P_1)



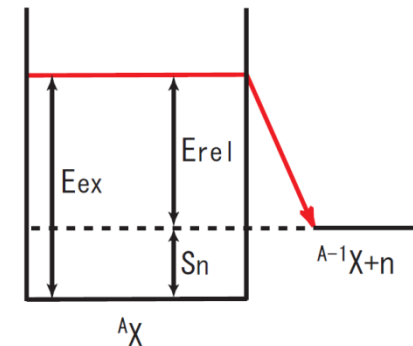
θ

E_{rel}

$$M_{IM} = \sqrt{(\sum_i E_i)^2 - |\sum_i \vec{P}_i|^2}$$

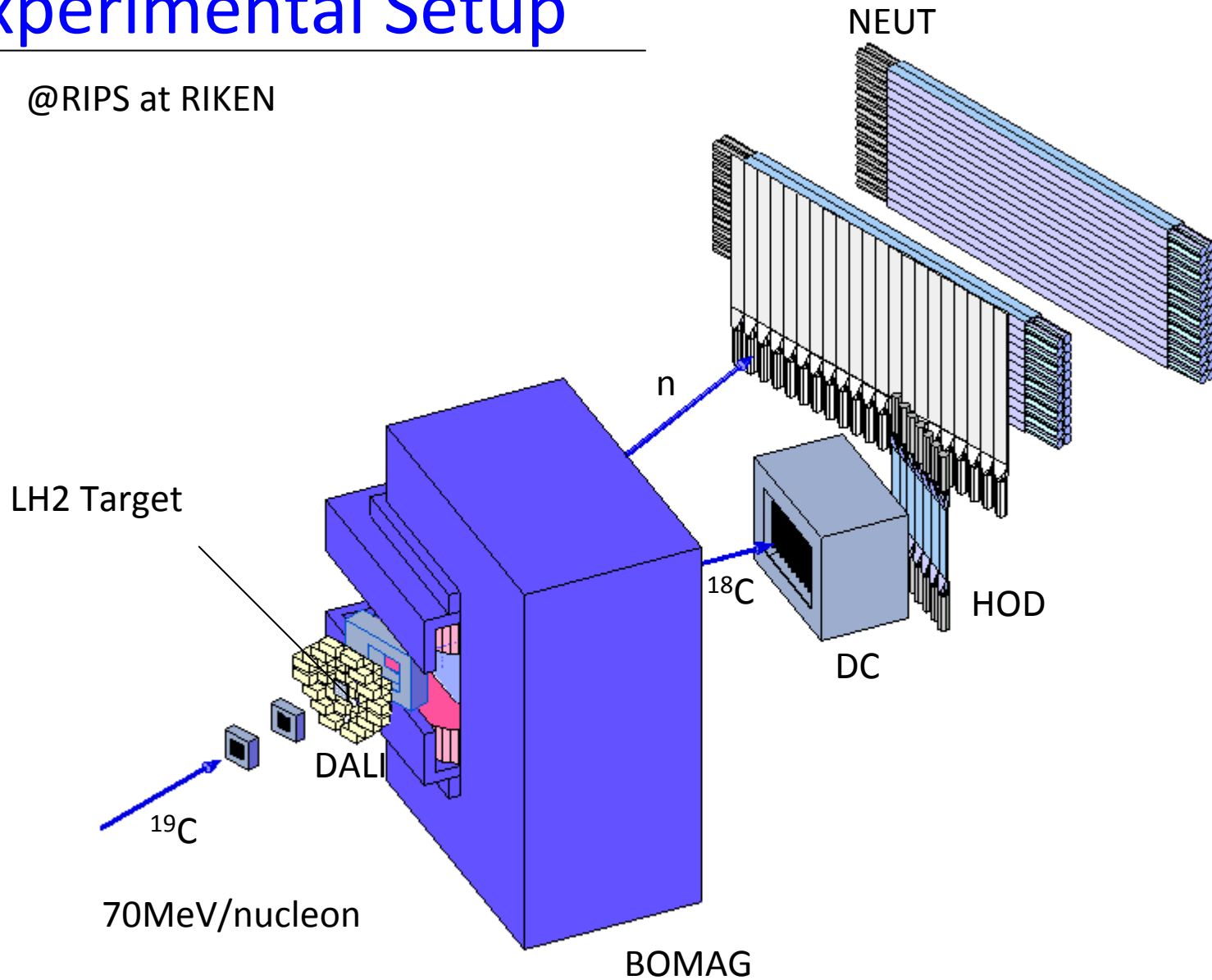
$$E_{rel} = M_{IM} - \sum_i M_i$$

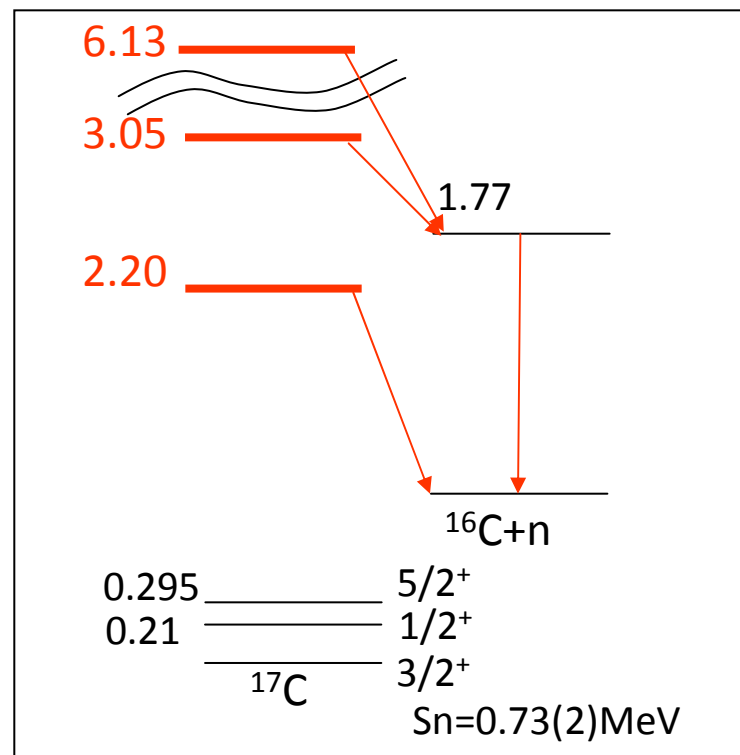
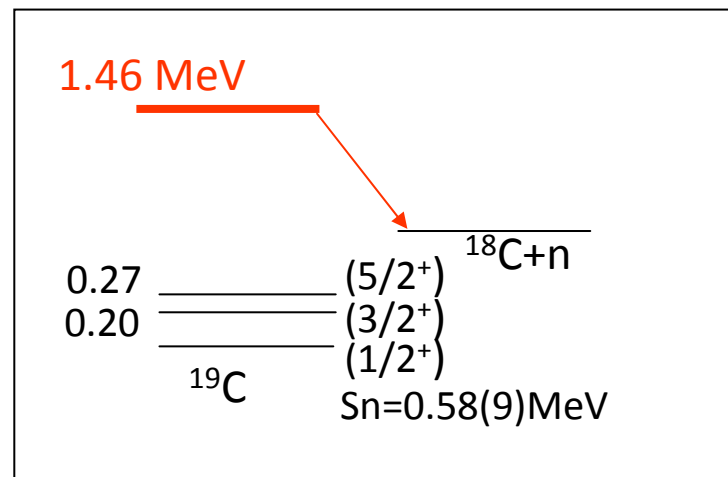
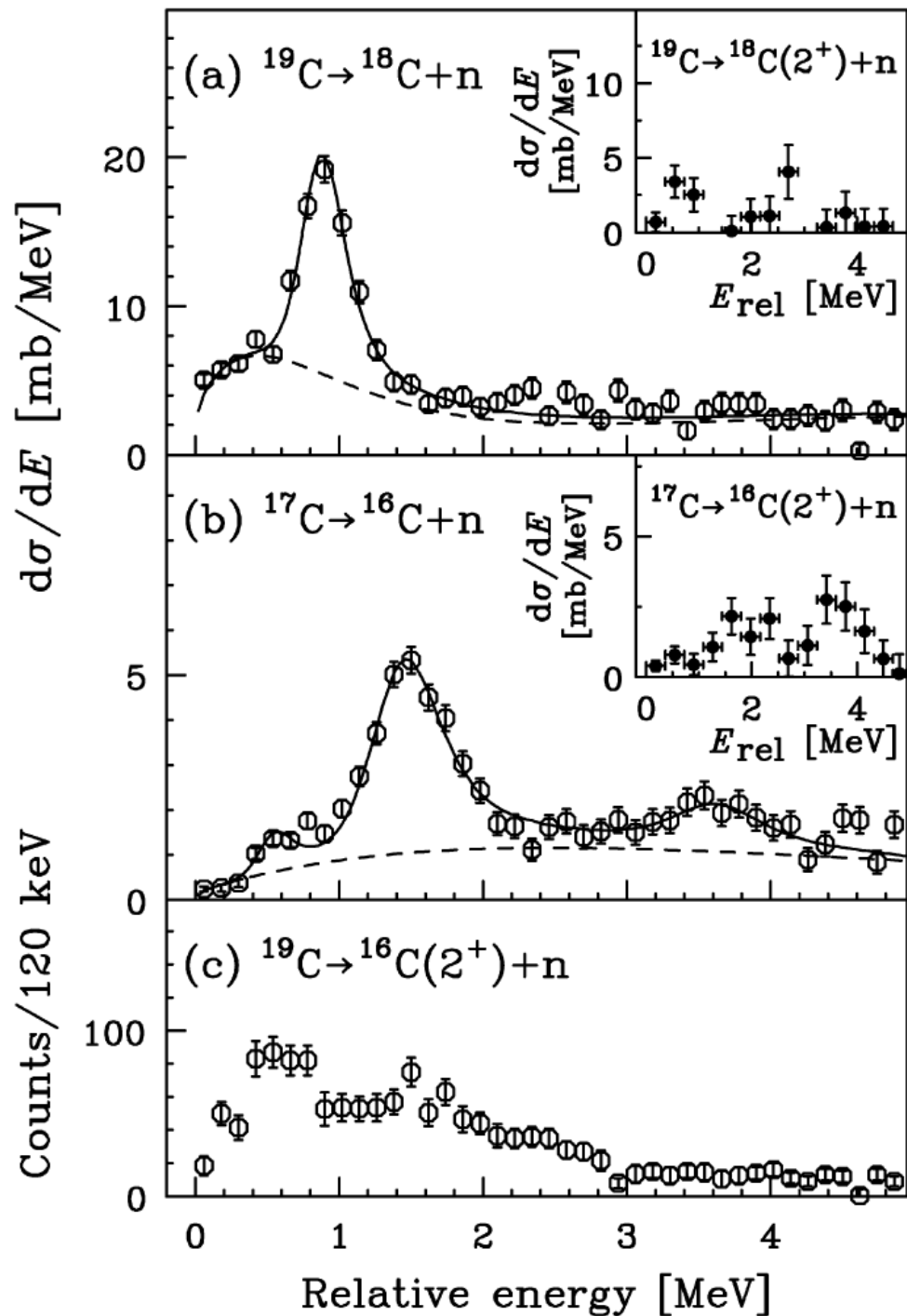
$$E_{ex} = E_{rel} + S_n$$



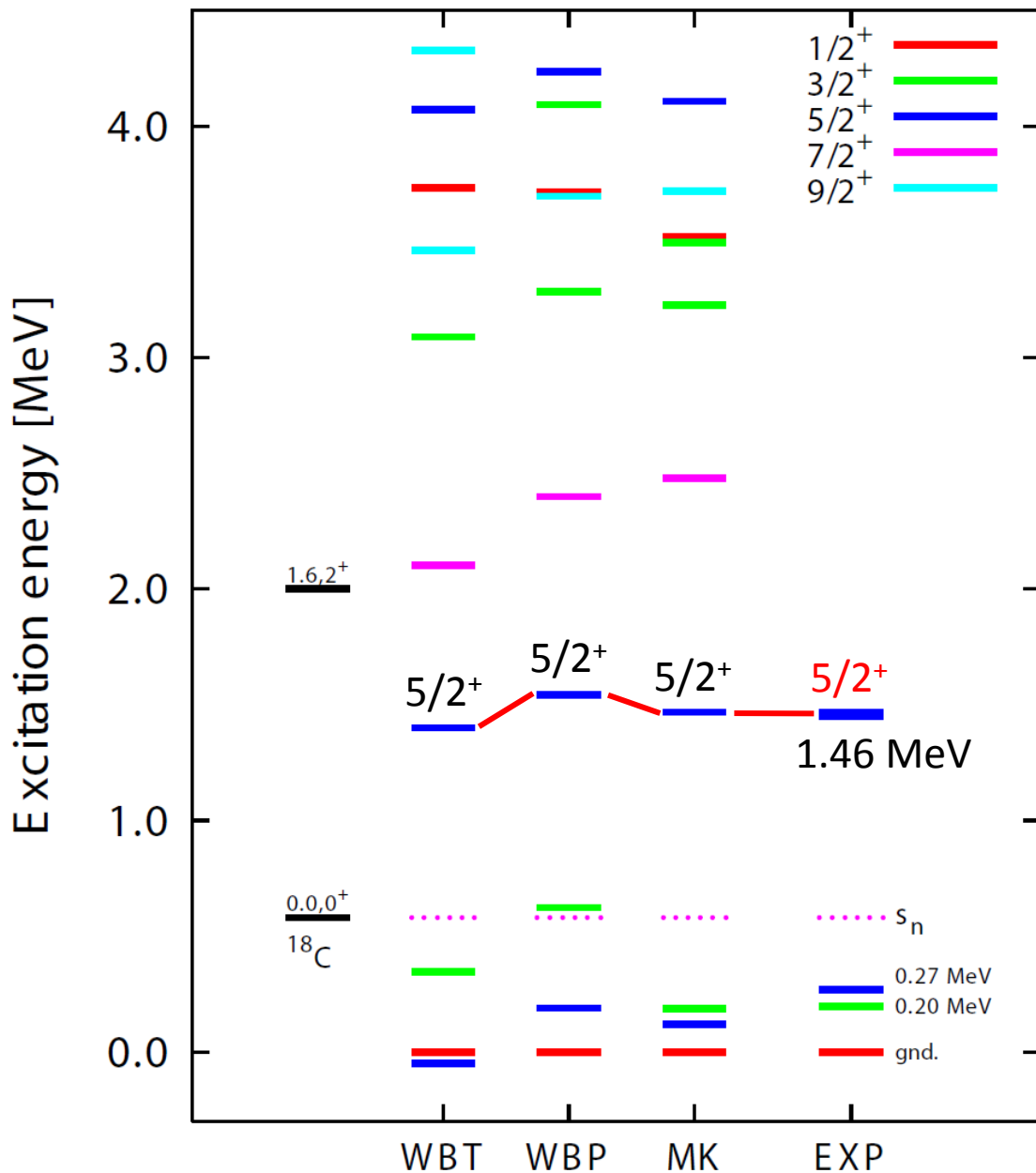
Experimental Setup

@RIPS at RIKEN



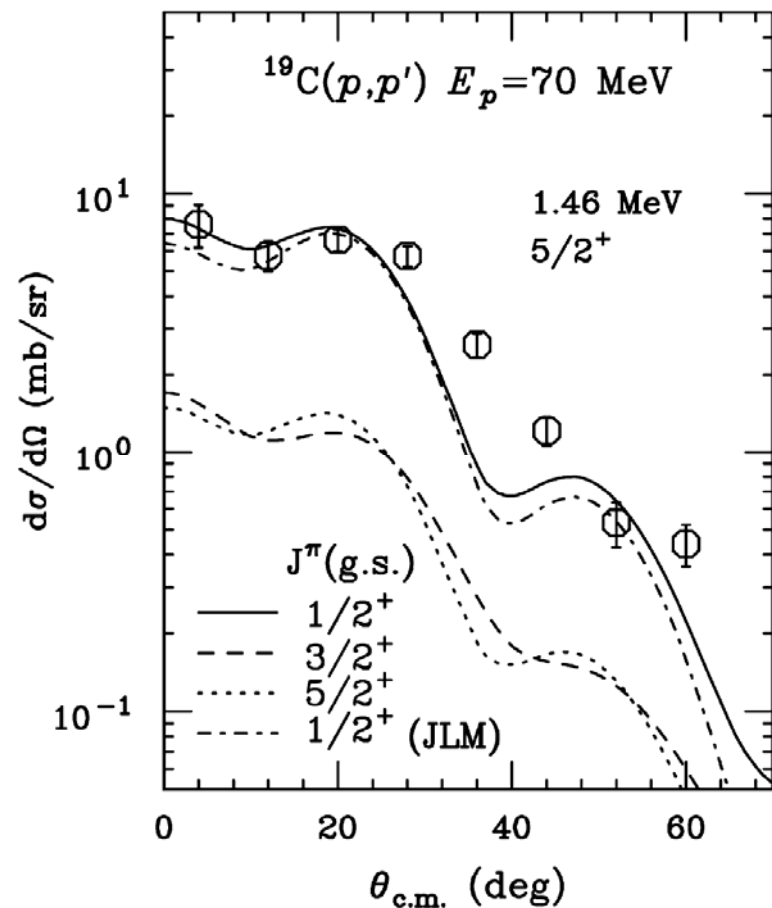


Energy level diagram of ^{19}C

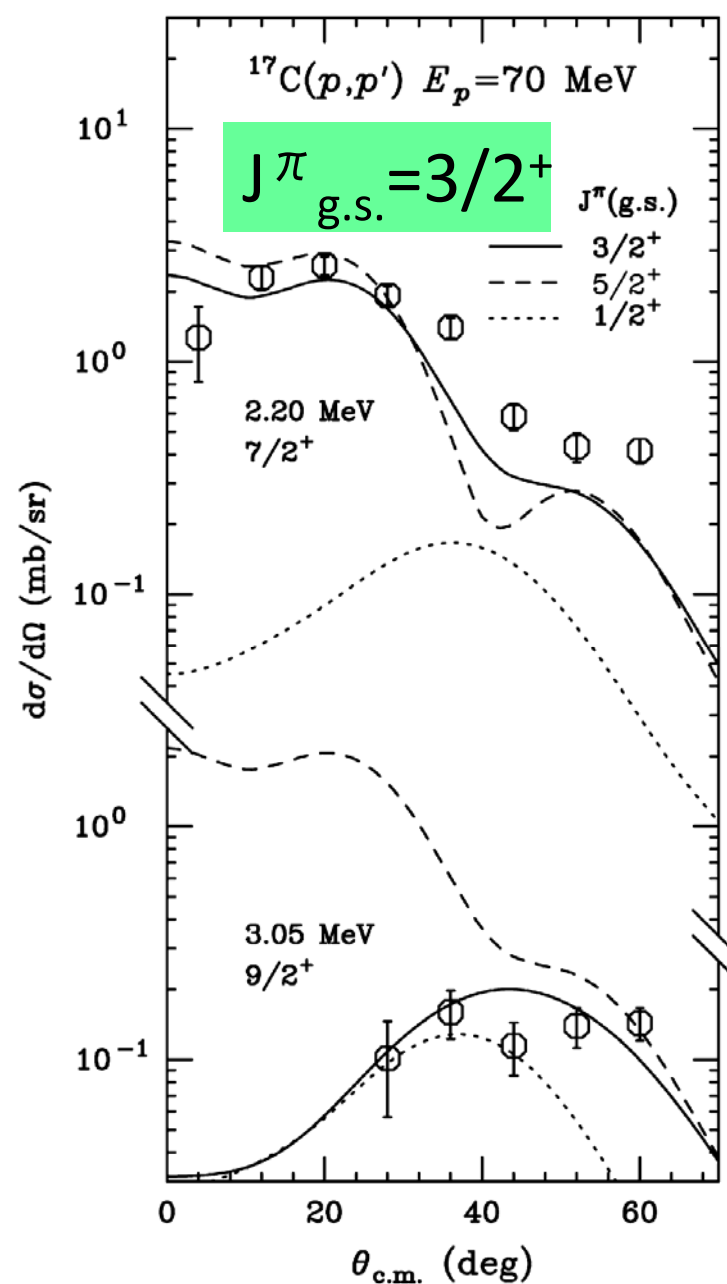
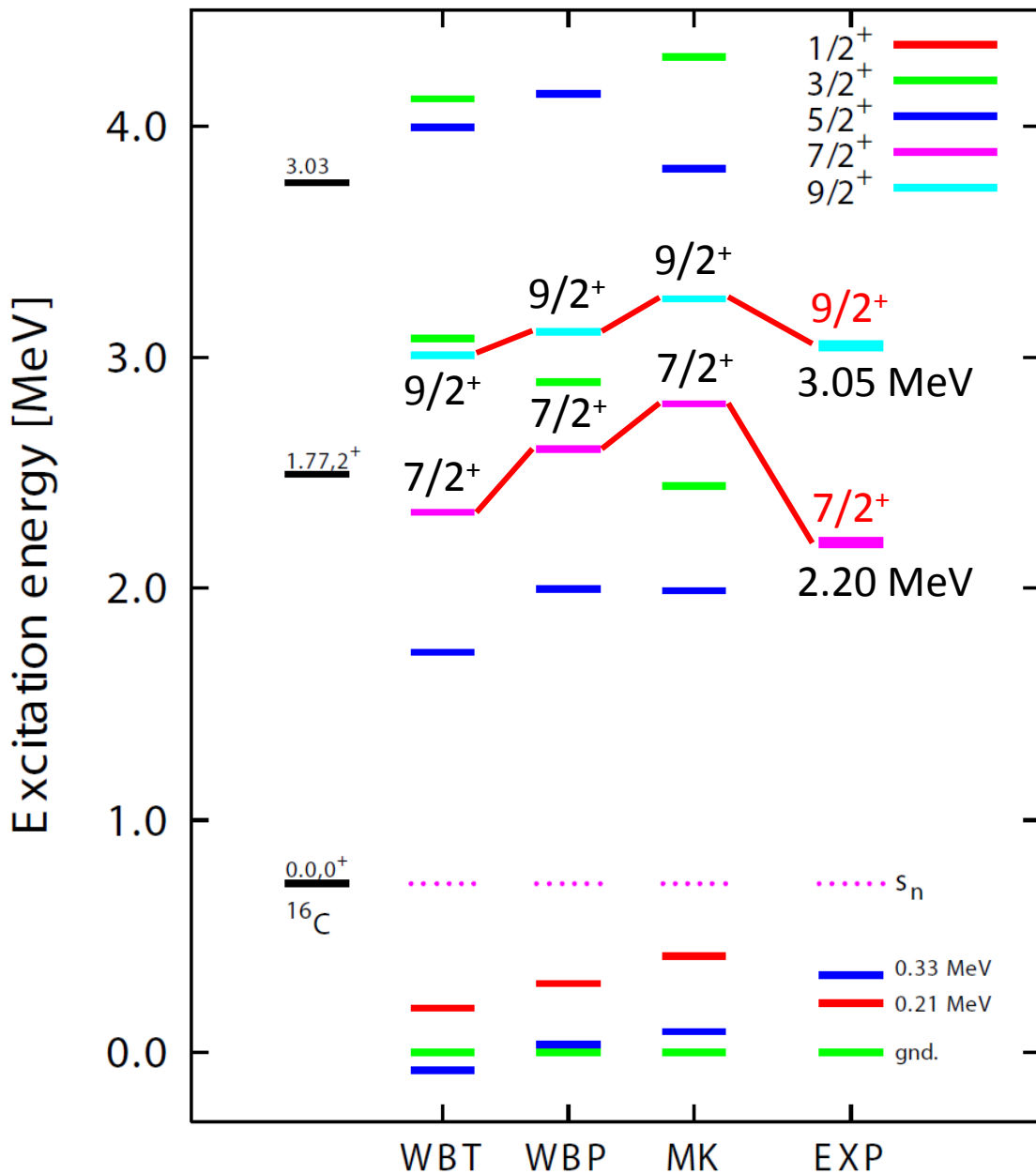


Optical potential: KD02, JLM (dotted)
Effective interaction: M3Y
Shell model: WBT

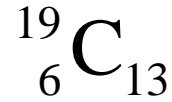
$$J^{\pi}_{\text{g.s.}} = 1/2^{+}$$



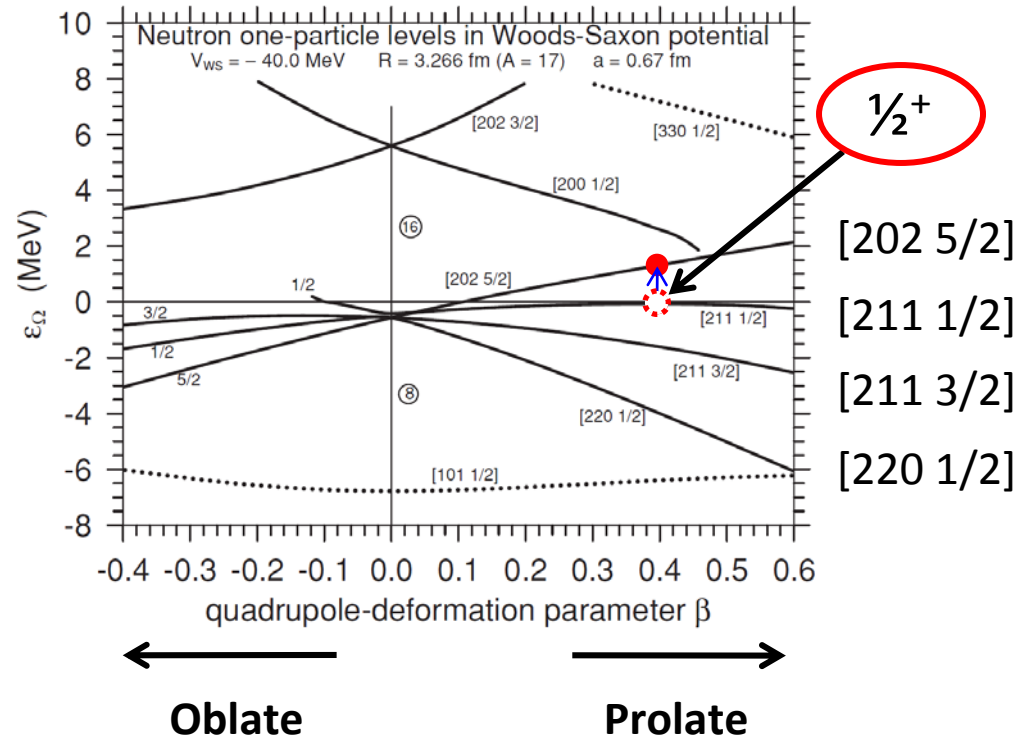
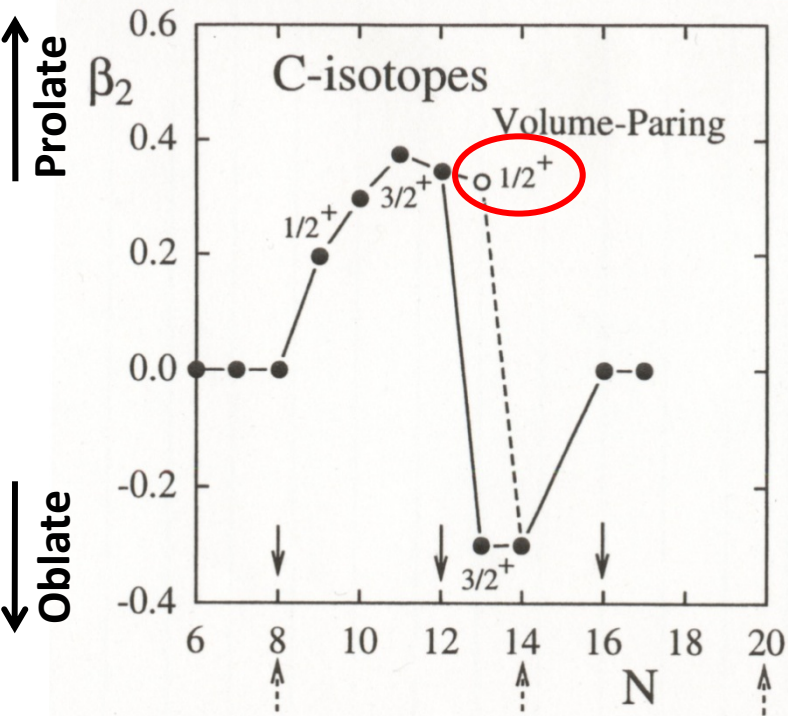
Energy level diagram of ^{17}C



c.f. H.G.Bohlen et al.,
Eur. Phys. J. A31, 279 (2007).



H.Hamamoto, PRC76(2007)054319.



- $J^\pi_{g.s.}({}^{19}\text{C}) = 1/2^+ \Rightarrow$ prolate deformation for the ground state
- No definite conclusion on the new shell closure at $N=16$ in C chain.
- Further studies needed.
 - Ex(2^+) in ${}^{22}\text{C}$ (with $N=16$) ?
 - Ex(2^+) in ${}^{24}\text{O}$ (with $N=16$) ? \Leftarrow RIKEN R405, soon be ready

まとめ

- 逆運動学 $^{19,17}\text{C}(p,p')$ 反応を測定し、非束縛領域に共鳴準位を見出した。
- ^{19}C : 殻模型計算やDWBA 計算と実験結果(励起エネルギー、断面積)の比較により、共鳴、基底準位の $J^\pi(\text{g.s.})$ をそれぞれ次のように決定した。
 - $J^\pi(\text{g.s.})=1/2^+$, $J^\pi(1.46 \text{ MeV})=5/2^+$
- ^{17}C : 同様の解析により基底状態の J^π を次のように決定した。
 - $J^\pi(\text{g.s.})=3/2^+$
- 炭素同位体での新魔法数 $N=16$ の確固とした証拠は得られなかった。
- ドリップライン近傍核の核分光手段として、不変質量法を用いた陽子非弾性散乱は有用である。

Ex(2^+) in ^{22}C ?

Ex(2^+ , 1^+) in ^{24}O ?

Collaborators (R364)

- Tokyo Institute of Technology
 - Y.Satou, T.Nakamura, T.Sugimoto, Y.Kondo, N.Matsui, Y.Hashimoto, T.Nakabayashi, T.Okumura, M.Shinohara
- RIKEN
 - N.Fukuda, T.Motobayashi, Y.Yanagisawa, N.Aoi, S.Takeuchi, T.Gomi, H.Sakurai, H.Otsu, M.Ishihara
- Rikkyo University
 - Y.Togano, S.Kawai
- Tokyo University
 - H.J.Ong, T.K.Onishi
- Center of Study (CNS) Tokyo University
 - S.Shimoura, M.Tamaki
- Tohoku University
 - T.Kobayashi, Y.Matsuda, N.Endo, M.Kitayama